Effets relativistes sur la désynchronisation des horloges propres des GPS

Canel Paul

Numéro de candidat : 25225

Les satellites GPS:

- des outils devenus indispensables dans de nombreux secteurs d'activité.
- une technologie qui n'aurait pu voir le jour sans les travaux d'Einstein sur la relativité.

- Au regard des vitesses et des distances entre les satellites quels sont les effets de la relativité restreinte sur la synchronisation entre leur horloges?
- Quels sont les effets de la relativité générale, quelle est l'influence des champs gravitationnels générés par les astres les plus proches?

- 🚺 Une désynchronisation due aux effets de la relativité restreinte
 - Construction des orbites des satellites GPS
 - Calcul du décalage et transformations de Lorentz
 - Extension de l'étude à un cas plus général : comparaison avec des fichiers d'orbites du Laboratoire AstroParticule et Cosmologie
- Une désynchronisation due aux effets de la relativité générale
 - Calcul du décalage temporel par rapport au temps coordonné associé au référentiel géocentrique
 - Comparaison avec la constellation Lisa
- Conclusion

Une désynchronisation due à la Relativité Restreinte

Construction des orbites des satellites GPS

Lois de Kepler

Le mouvement est elliptique:

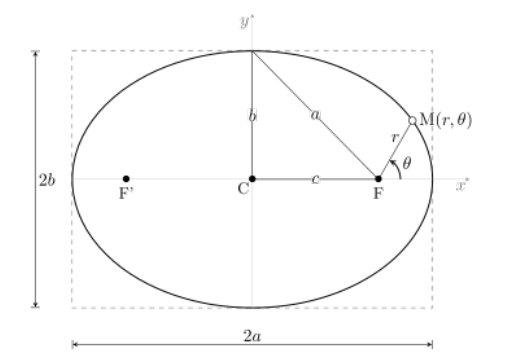
$$r(\theta) = \frac{p}{1 + e\cos(\theta)}$$

- e l'eccentricité de l'ellipse
- p le paramètre de l'ellipse

Le rayon balaie des aires égales pendant des durées égales:

$$\frac{dA}{dt} = \frac{r^2}{2} \frac{d\theta}{dt}$$

A l'aire balayée pendant dt



Lois de Kepler

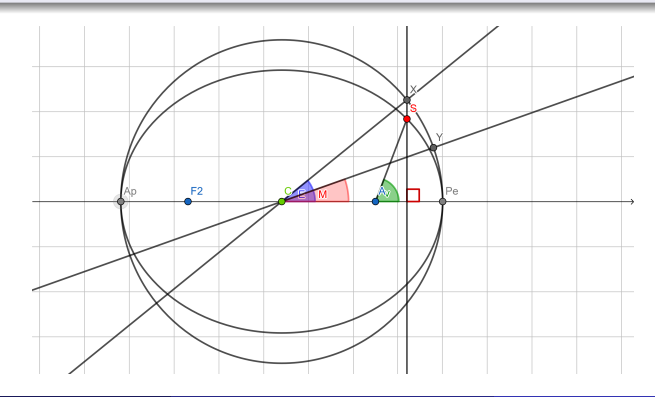
Loi des périodes: $\frac{T^2}{a^3} = \frac{4\pi^2}{GM}$

- T la période de révolution
- a le demi grand axe
- G la constante de gravitation

Equation de Kepler

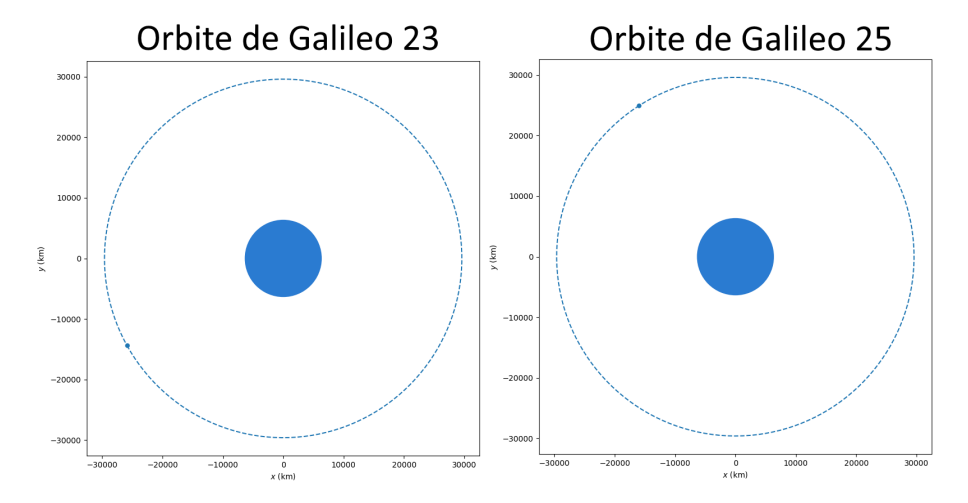
$$E - e\sin(E) = M \tag{1}$$

- e l'eccentricité
- E l'anomalie eccentrique
- M l'anomalie moyenne



Résolution à l'aide de la méthode de Newton:

```
line1 = "1 43567U 18060D 21054.88871616 -.000000042 00000-0
m = np.radians(float(line2[44:51])) #mean anomaly
e = float(("0."+line2[26:33]))
    return x - e * np.sin(x) - m
def df(x):
    return 1 - e * np.cos(x)
idef newton(f, df, x0, epsilon=0.000001):
    x prec = x0
    x = x0 - f(x0) / df(x0)
    while abs(x - x prec) > epsilon:
```



Calcul du décalage et transformations de Lorentz

Théorie de la relativité restreinte

Postulats d'Einstein:

- Les lois de la physique sont invariantes par changement de référentiel
- La vitesse de la lumière est la même pour tous les référentiels

$$c = \frac{1}{\sqrt{\mu_0 \nu_0}} \tag{2}$$

Transformations de Lorentz

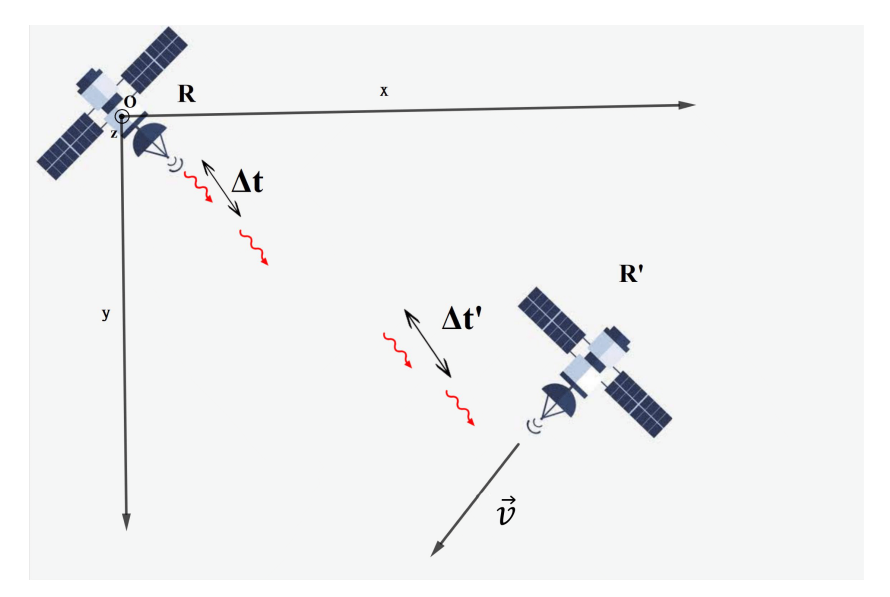
On considère deux réferentiels R et R' auxquels on associe les repères respectifs (O,x,y,z,t) et(O',x',y',z',t'). Si R' est en translation rectiligne uniforme par rapport à R selon (Ox) alors :

- $x' = \gamma(x vt)$
- \bullet y'=y
- o z'=z
- $t' = \gamma (t \frac{vx}{c^2})$

Transformations de Lorentz (Cas général)

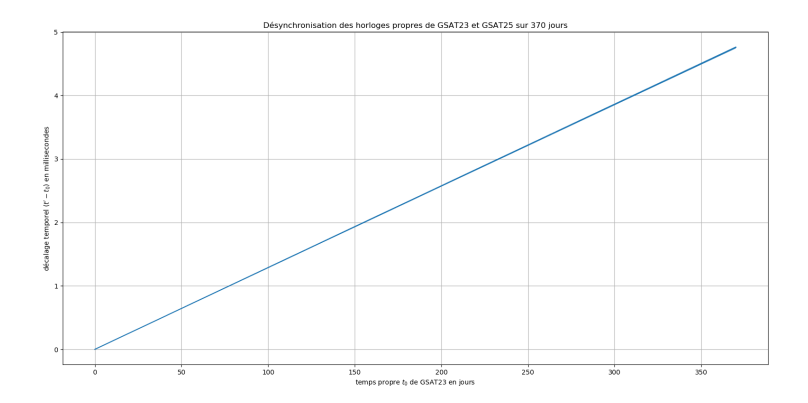
$$t' = \gamma \left(t - \frac{\vec{v} \cdot \vec{r}}{c^2}\right) \tag{3}$$

Différence de durée mesurée par 2 satellites en translation rectiligne uniforme l'un par rapport à l'autre $(\Delta t < \Delta t')$



Calcul de la transformation de Lorentz de la coordonnée associeé au temps:

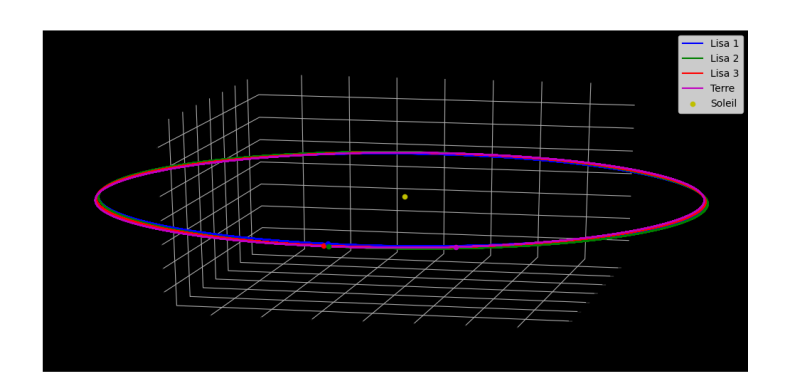
```
37  v12 = v2 - v1
38  r12 = r2 - r1
39
40  gamma = 1 / (np.sqrt(1 - (np.linalg.norm(v12, axis=1) ** 2 / cst.c.value ** 2)))
41
42  tprim = gamma * (tspan - (np.sum(v12 * r12, axis = 1) / (cst.c ** 2)))
```

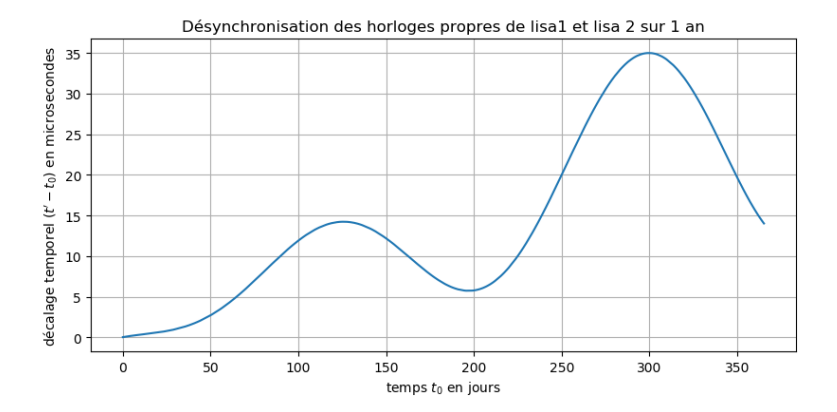


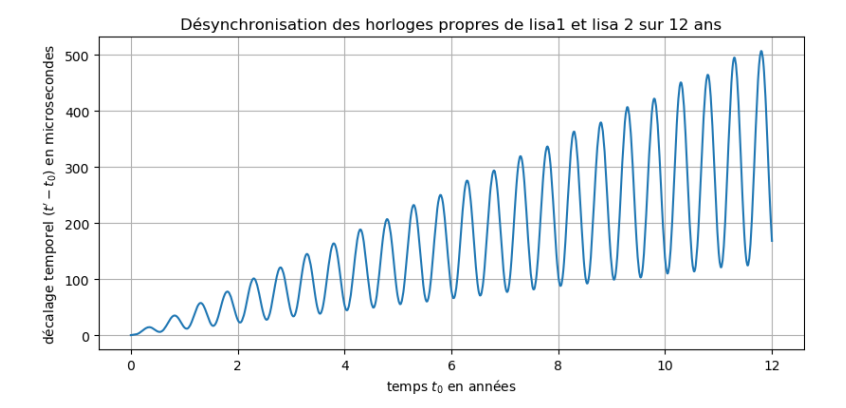
Extension de l'étude à un cas plus général : comparaison avec des fichiers d'orbites du Laboratoire AstroParticule et Cosmologie

- Pour cette simulation les orbites sont peu complexes (quasi circulaires) et ne prennent en compte aucune dérive au cours du temps.
- Comment évolue cette désynchronisation au cours de temps pour une orbite plus complexe?

- Pour la mission spatiale LISA dont l'objectif est de détecter des ondes gravitationnelles, trois satellites seront envoyés dans l'espace pour former un interféromètre laser.
- Ils auront une orbite héliocentrique et seront distants de plus de 2 millions de km.
- Pour assurer le bon fonctionnement de cet interféromètre, la correction des décalages relativistes des horloges de ces satellites est primordiale.

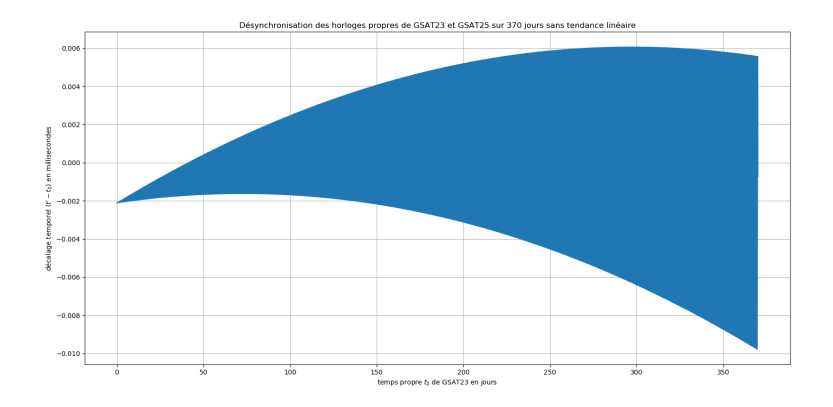




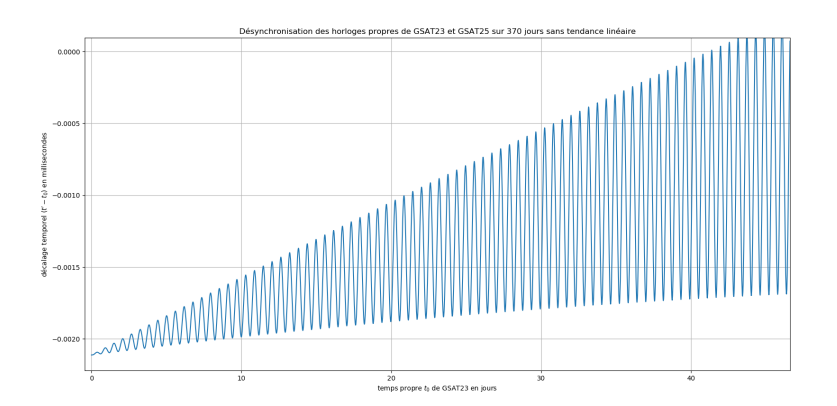


- A première vue, on ne remarque aucune similitude entre les résultats obtenus pour les GPS et pour la constellation LISA si ce n'est le fait que le décalage est globalement croissant pour les deux.
- Cela provient en partie du fait que les orbites des GPS sont quasi circulaires, mais en retirant sa tendance linéaire à la courbe des GPS on peut observer qu'il ne s'agit pas exactement d'une droite.

• On peut ainsi de nouveau comparer les résultats obtenus sur 1 an.



 En observant sur une durée moindre, on retrouve la pseudo-période que l'on avait pour la constellation LISA et qui est bien égale à la période orbitale des satellites (environ 14h pour les satellites GALILEO).



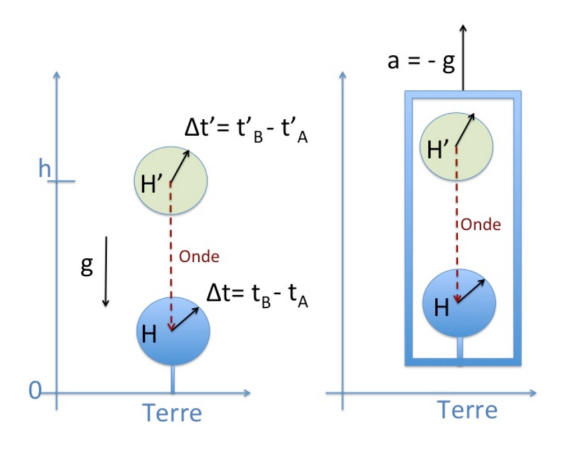
Une désynchronisation due à la Relativité Générale

Calcul du décalage temporel par rapport au temps coordonné associé au référentiel géocentrique

Théorie de la relativité générale

- On ne peut distinguer une accélération constante d'un champ de gravitation constant (Principe d'équivalence).
- La gravitation n'est plus une force mais une manifestation de la courbure de l'espace-temps. Elle définit des échelles de longueurs et de temps.
- On définit l'espace-temps par une nouvelle métrique: La métrique de Schwarzschild.

Une des conséquences directes de cette théorie est la dilatation gravitationnelle du temps :



d'après culturesciencesphysique.ens-lyon.fr

Le Redshift Gravitationnel (Décalage d'Einstein)

Un photon de fréquence ν_0 émis dans un champ de gravitation \vec{G} produit par une masse M à une distance r_0 est perçu par un observateur situé dans un champ gravitationnel plus faible avec une fréquence ν_{obs} plus faible (décalée vers le rouge):

$$\frac{\nu_{obs}}{\nu_0} = \sqrt{1 - \frac{2GM}{r_0 c^2}} \tag{4}$$

en y ajoutant les effets de la relativité restreinte on obtient donc :

$$\frac{\nu_{obs}}{\nu_0} = \sqrt{1 - \frac{2GM}{r_0 c^2} - \frac{v^2}{c^2}} \tag{5}$$

- Dans le cas des satellites, le champ gravitationnel dépend de plusieurs astres : on aura donc une somme de potentiels gravitationnels.
- Ainsi la durée $d\tau_k$ séparant deux évènements dans le référentiel du satellite k se déplaçant à la vitesse v_k dans le référentiel d'étude est reliée à la durée dt séparant ces deux évènements dans le référentiel d'étude par:

$$d\tau_k = dt \sqrt{1 - \sum_{i \in Astres} \frac{2GM}{r_{ki}c^2} - \frac{v_k^2}{c^2}}$$
 (6)

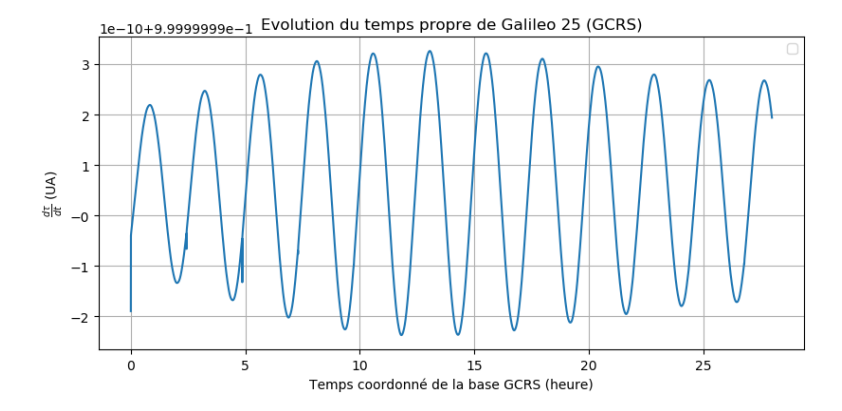
Calcul du rayon de Schwarzschild $r_s = \frac{2GM}{c^2}$ de chaque astre :

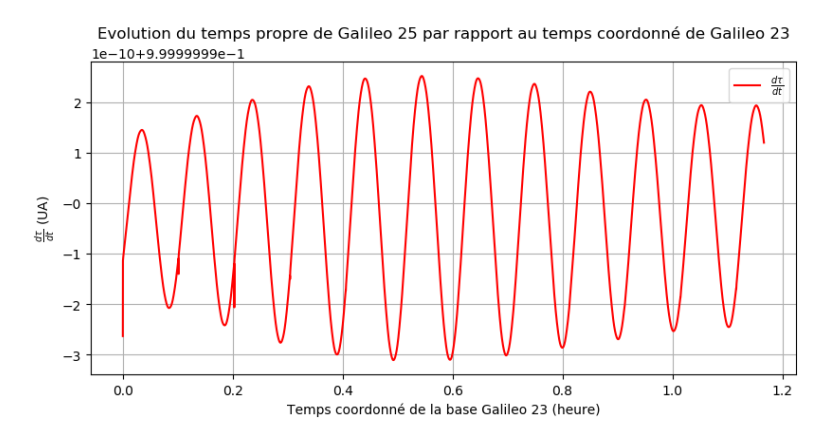
```
k = np.array([(2 * a.mass.value * const.6.value) / const.c.value **2 for a in astres])
```

Calcul des distances Astre-satellite r_{ki} :

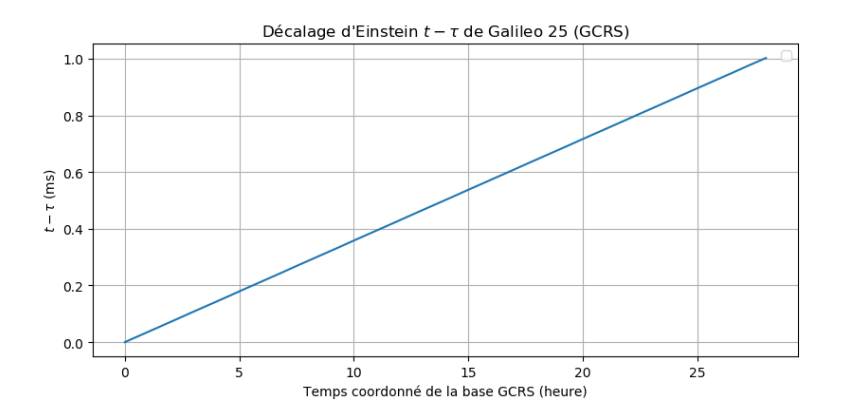
Calcul des sommes des potentiels gravitationnels, de $\frac{d\tau}{dt}$ et du Redshift Gravitationnel τ :

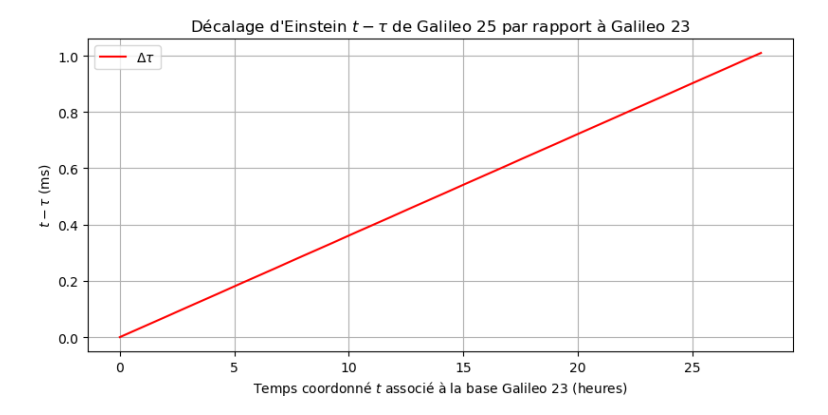
```
S1, S2 = np.zeros(len(gsat1)), np.zeros(len(gsat2))
for a in range(len(coord_astres)):
   S1 += k[a] / r1[a].value
   S2 += k[a] / r2[a].value
svs.stdout.write(str(time() - st) + " s\n")
sys.stdout.write("Calcul dtau ... ")
dtau1 = np.sgrt(1 - S1 - (np.linalg.norm(v1, axis=1) ** 2 / const.c.value ** 2))
dtau2 = np.sqrt(1 - S2 - (np.linalg.norm(v2, axis=1) ** 2 / const.c.value ** 2))
sys.stdout.write(str(time() - st) + " s\n")
st = time()
sys.stdout.write("Calcul tau ... ")
tau1 = integrate.cumtrapz(dtau1, tspan, initial=0)
tau2 = integrate.cumtrapz(dtau2, tspan, initial=0)
```



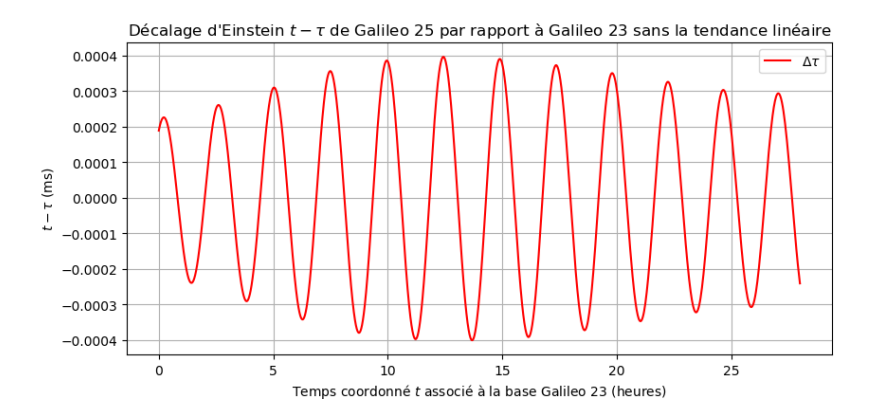


 En intégrant les courbes précédemment obtenues à l'aide de la méthode des trapèzes, on peut obtenir l'accumulation de ce décalage temporel au cours du temps :

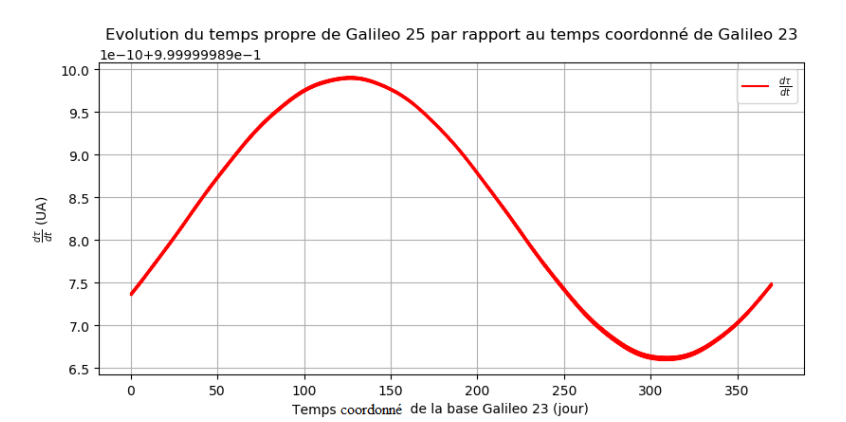


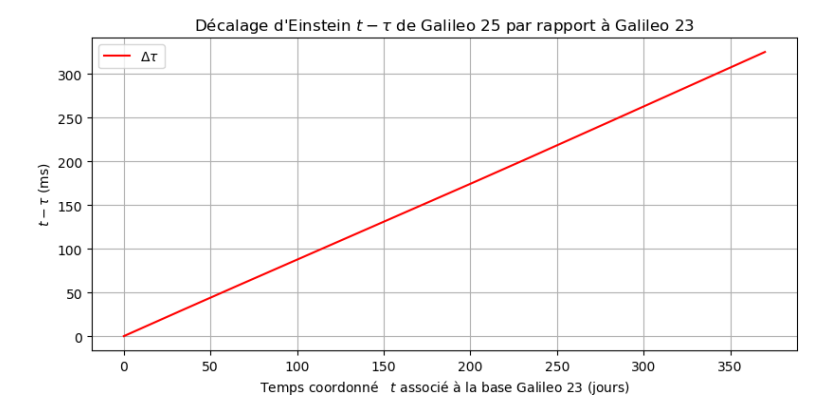


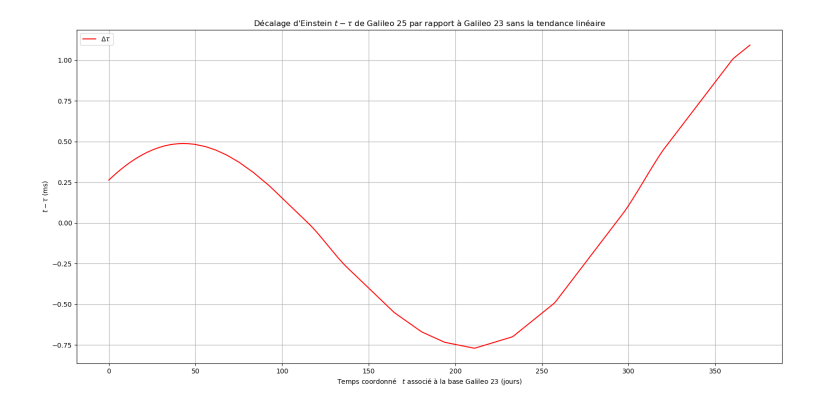
• En retirant sa tendance linéaire à la courbe, on obtient bien une courbe similaire à sa dérivée où les mêmes périodes sont observables:



• Du fait des différentes distances entre les astres et les satellites, on observe des périodes différentes en faisant varier l'échelle de temps:

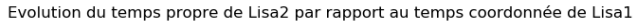


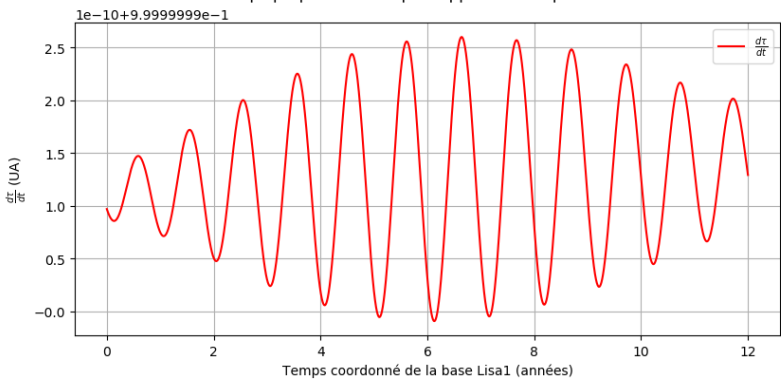


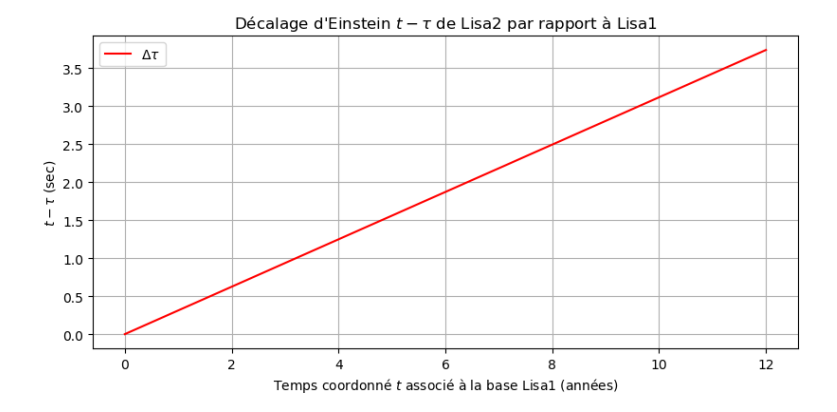


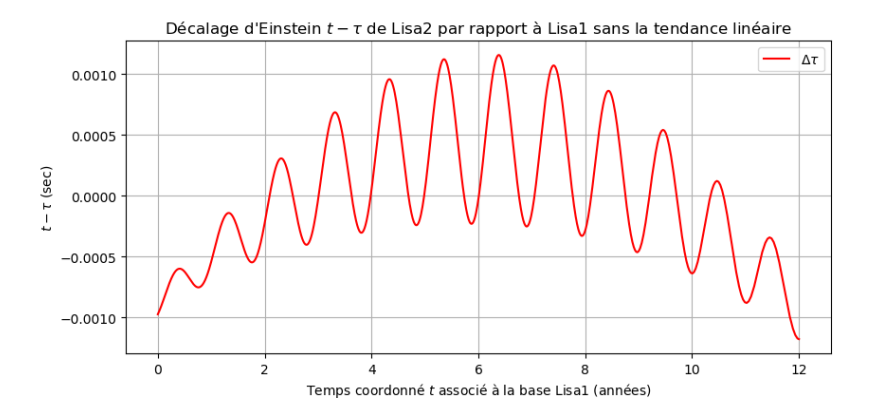
Comparaison avec la constellation Lisa

- De même que précédemment, on peut comparer les résultats obtenus à ceux que l'on obtient avec la constellation LISA, tout en considérant qu'étant dans une orbite héliocentrique la lune aura moins d'influence que dans le cas des GPS et d'autres astres imposeront davantage leur potentiel gravitationnel.
- On observera donc les périodes obtenues dans les courbes des GPS avec une amplitude différente.









Conclusion

Les effets de la Relativité Restreinte

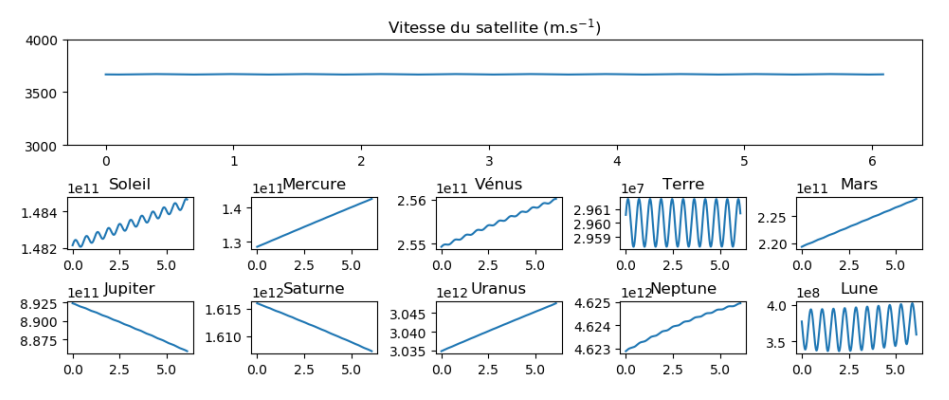
- Sur une journée : d'après les simulations numériques $t'-t \simeq 130 \mu s$ ce qui correspond à une erreur de mesure d'environ 39 km/jour
- Sur 1 an : $t'-t\simeq 4,5ms$ ce qui correspond à une erreur de mesure d'environ $1350\,km/an$ car le décalage n'est pas constant au cours du temps.

Les effets de la Relativité Générale

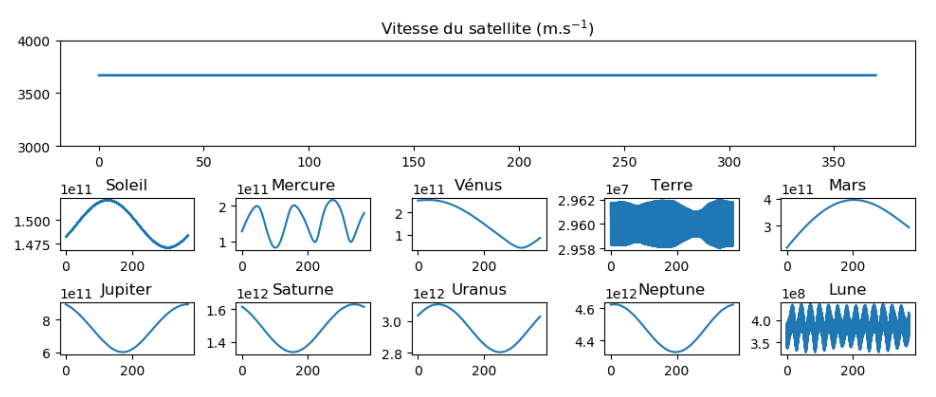
- Sur une journée : $t'-t \simeq 0.9 ms$ et donc une erreur de mesure d'environ 270 km/jour.
- Sur 1 an : $t'-t\simeq 0.31s$ soit une erreur de mesure d'environ $93000\,km/an$.

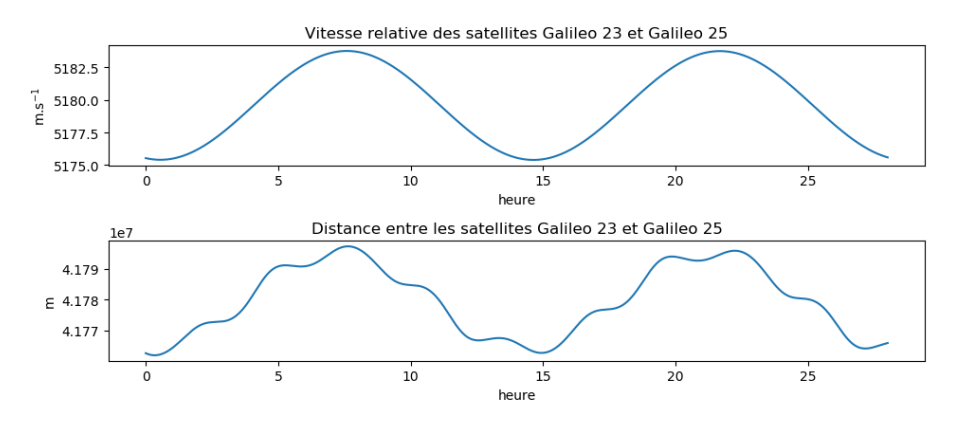
- Du fait du modèle pris en compte et des approximations faites pour les simulations, les résultats ne représentent pas la réalité.
- Le décalage reste cependant supérieur au kilomètre par jour, d'où l'importance de prendre en compte les effets relativistes pour les satellites GPS, les télécommunications et les satellites de recherche comme ceux de la constellation LISA.

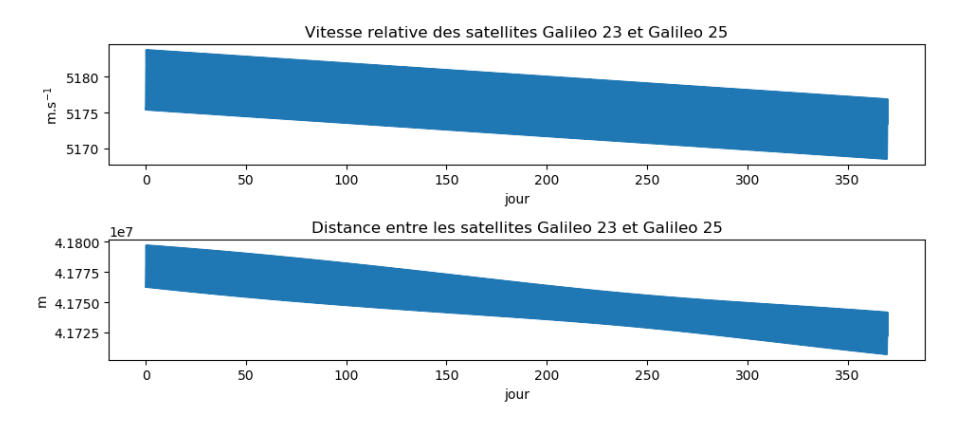
Vitesse (GCRS) de GSAT25 (m.s⁻¹) et distance (m) avec les astres en fonction du temps (jours)

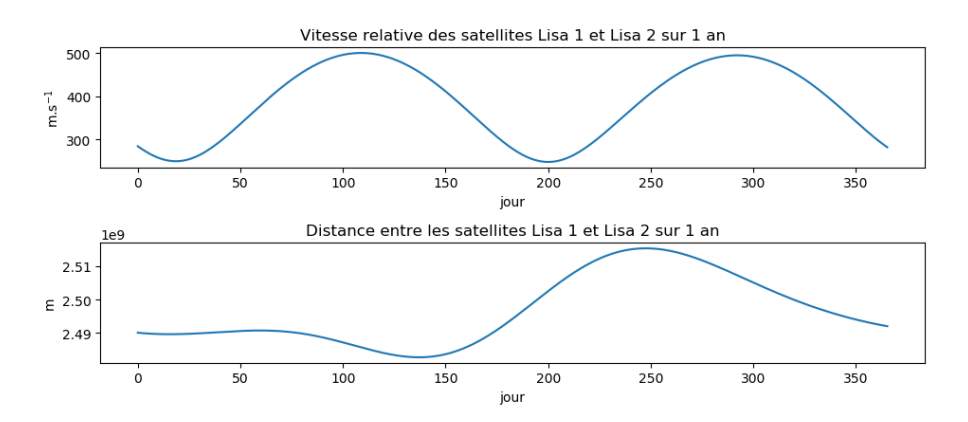


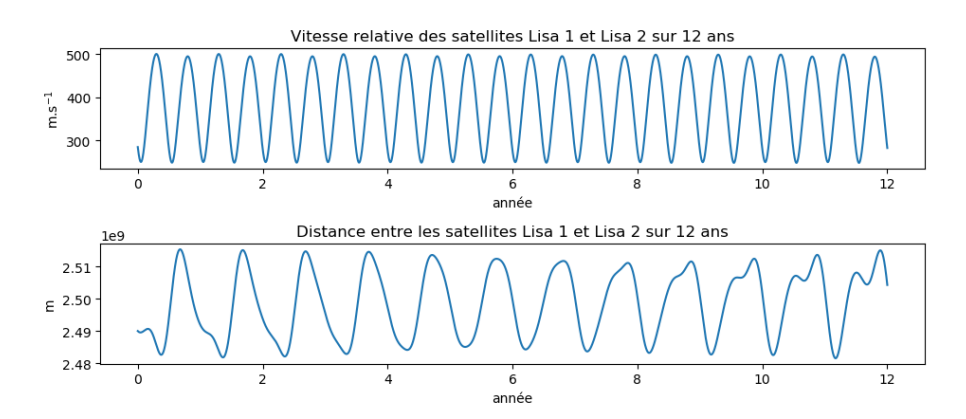
Vitesse (GCRS) de GSAT25 (m.s⁻¹) et distance (m) avec les astres en fonction du temps (jours)

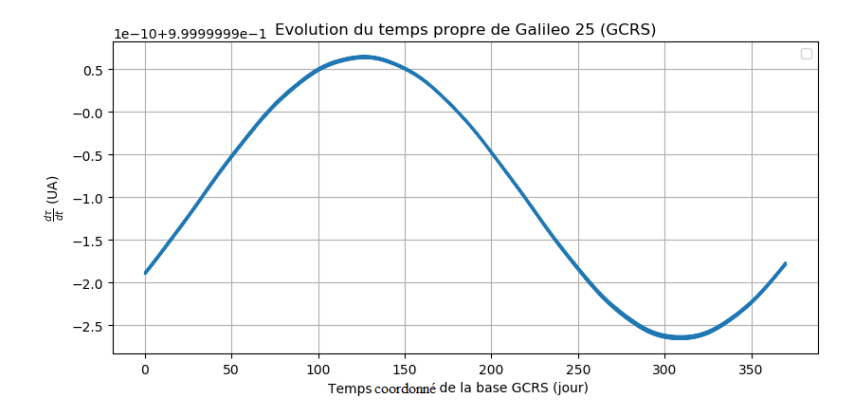


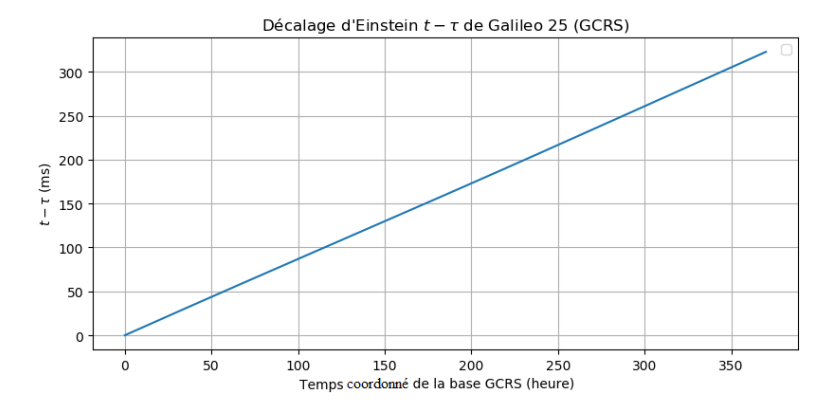


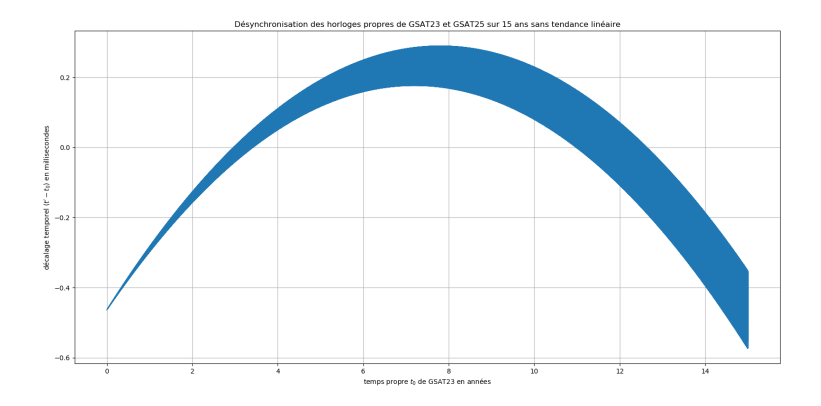




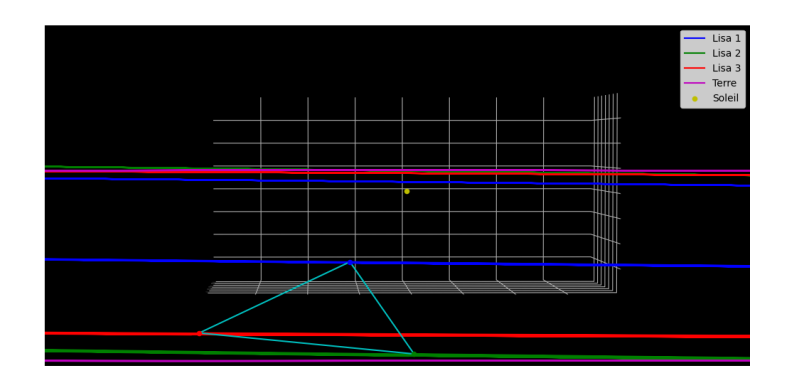








Constellation Lisa



Extrait d'un fichier d'orbite

mps		Position	
	les X	Y	${f Z}$
3600	24511.402312872877	16584.62085553828	-4.120574420297999
7200	18212.52697569638	20733.995886243505	10708.97448460401
10800	-3153.9952391495826	16834.837655290296	24158.07606646624
14400	-25974.931853206108	-8824.913469129133	11147.74567820955
18000	2667.270090423497	-17059.993570870865	-24025.33444157967
21600	18855.408673740134	20549.95459451361	9920.520824037032
25200	-24976.31358459654	-15839.049775634743	1354.318779248486
28800	25081.84703076651	15610.309029933658	-1736.5830656134021
32400	-19812.804860256794	-20211.833630505775	-8664.775365430669
36000	-424.69575180256106	18107.989592083133	23427.224498797066
39600	25411.65272274513	6416.916503476008	-13728.955013126066
43200	-980.2278310430193	-18670.446834878523	-22932.69558590613
46800	-21487.11294382442	-19398.12375137031	-6185.476266118458
50400	-25935.313066791154	-13124.03830918362	5638.5045675451
54000	-26033.009600155754	-12530.28442367068	6478.872397840384
57600	-22925.71197523824	-18371.61986303929	-3638.3228882681333
61200	-5504.379109691983	-20168.155289385468	-20940.92473118133
64800	23190.860202478536	1305.7968987760023	-18324.156932795628
68400	7671.552513100416	20692.061830192215	19740.35193344082
72000	-24758.077508751838	-16219.583478068571	681.6072895892185
75600	25737.75260594416	7665.195261167031	-12420.276074723737
79200	-25483.01555680448	-6591.830543613574	13567.699823637366
82800	25742.520083605494	13881.986278374201	-4507.070195465611
0	-13917.14467043593	-21294.045847329304	-15124.21179432001
3600	-17350.26548911526	6418.557618884673	23127.669427245568
7200	16471.827760425193	21088.794074018446	12661.051933154908
10800	26048.292519175975	9555.015494839605	-10281.159764611202
14400	21692.59626701058	-1092.5261262573904	-20087.225659170846
	3600 7200 10800 14400 18000 216000 25200 28800 36000 39600 45200 45800 57600 61200 64800 65400 775600 79200 82800 0 3600 7200	secondes X 3600 24511.402312872877 7200 18212.52697569638 10800 -3153.9952391495826 14400 -25974.931853206108 18000 2667.270090423497 21600 18855.408673740134 25200 -24976.31358459654 28800 25981.84703076651 32400 -19812.804860256794 36000 -424.69575180256106 39600 25411.65272274513 43200 -980.22783180430193 46800 -21487.11294382442 50400 -25935.313066791154 54000 -25935.313066791154 54000 -25935.313066791154 54000 -25935.313066791154 54000 -25935.313066791154 54000 -25935.313066791154 54000 -25935.313066791154 54000 -25935.313066791154 54000 -22955.71197523824 61200 -25945.37190691983 68400 271.552513100416 72000 -24758.077508751838 750	Secondes X 3600 24511.402312872877 16584.62085553828 7200 18212.52697569638 26733.995886243565 10800 -3153.9952391495826 16834.837655290296 14400 -25974.931853206108 -8824.913469129133 18000 2667.270099423497 -17059.993570870865 21600 18855.4086737401134 20549.99459451361 25200 -24976.31358459654 -15839.049775634743 28800 2581.84703076651 15610.309029933658 32400 -19812.804860256794 -2011.833639565775 36000 -424.69575180256106 18107.989592083133 46800 -21487.11294382442 -19398.12375137031 54000 -2980.2278310439193 -1867.446834878523 45000 -26933.09600155754 -12530.28442367068 57600 -22925.71197523824 -18371.61986303929 61200 -5504.379109691983 -20168.155289385468 64800 7671.552513100416 26692.061880192215 72000 -24758.077508751838 -16219.583478068571 75600

Dogidion